

セルフ・プライミングについて

山梨大学工学部 正員 萩原能男
山梨大学工学部 正員 加藤真樹

1. はじめに

円型カルバートにおける、セルフ・プライミング現象について前回の学術講演会に報告したが、今回はセルフ・プライミングの発生地点に重音を置いて、急速に流量を増加させる急速測定により、理論的に求めた 発生時間、発生地点を実験より確かめた。

2. 実験

実験に用いたカルバートは直径8cm 長さ4mの透明なアクリルパイプを使用した、このカルバートの粗度係数 α は0.09であり、流入口に $1/4D$ (D: 直径)のゲートを密接し実験を行った。

セルフ・プライミング発生領域附近においての流れは予安定となり微少量づつ流量を増加させる緩速測定にては、発生地点の測定が困難であり、急速に流量を増加させる急速測定にて実験を行った。この実験の測定には、流入口より 10cm 間隔に設置したマノメーターにより水位を求め、リピーティング・フラッシュにより瞬間的に発生する、セルフ・プライミング現象を捕える事にした。

3. 理論解析

運動の方程式と連続の方程式より、次の様な特性方程式が得られる。

$$\left\{ \begin{array}{l} \frac{dx}{dt} = V + C \quad (C = \sqrt{\frac{g D \cos \theta}{\alpha}}) \\ -D(S_o - \frac{\pi^2 V^2}{R^{4/3}}) + \frac{\alpha C}{g} \frac{dh}{dt} + \frac{\alpha D}{g} \frac{dV}{dt} = 0 \end{array} \right. \quad \left\{ \begin{array}{l} \frac{dx}{dt} = V - C \\ -D(S_o - \frac{\pi^2 V^2}{R^{4/3}}) - \frac{\alpha C}{g} \frac{dh}{dt} + \frac{\alpha D}{g} \frac{dV}{dt} = 0 \end{array} \right.$$

この特性方程式を、数値解法にて求める事にする。

$$x_{10} = \left(\frac{x_{00}}{V_{00} + C_{00}} - \frac{x_{01}}{V_{01} - C_{01}} + t_{01} - t_{00} \right) / \left(\frac{1}{V_{00} + C_{00}} - \frac{1}{V_{01} - C_{01}} \right)$$

$$t_{10} = t_{00} + \frac{x_{10} - x_{00}}{V_{00} + C_{00}}$$

$$h_{10} = \frac{\frac{1}{g} (V_{00} - V_{01}) + \left(\frac{h_{00}}{\sqrt{g D_{00}}} + \frac{h_{01}}{\sqrt{g D_{01}}} \right) + S_o (t_{01} - t_{00}) + \frac{t_{10} - t_{01}}{R_{01}^{4/3}} \pi^2 V_{01}^2 - \frac{t_{10} - t_{00}}{R_{00}^{4/3}} \pi^2 V_{00}^2}{\frac{1}{\sqrt{g D_{00}}} + \frac{1}{\sqrt{g D_{01}}}}$$

$$V_{10} = V_{00} + \sqrt{\frac{g}{D_{00}}} h_{00} + g (t_{10} - t_{00}) \left(S_o - \frac{\pi^2 V_{00}^2}{R_{00}^{4/3}} \right) - \sqrt{\frac{g}{D_{00}}} h_{10}$$

ここで $x, x_{00}, x_{01}, x_{10}$: 流入口より測定点までの距離; $t, t_{00}, t_{01}, t_{10}$: 時刻;
 $V, V_{00}, V_{01}, V_{10}$: 平均流速; S_o : 水路床勾配; $R, R_{00}, R_{01}, R_{10}$: 径深;
 $D, D_{00}, D_{01}, D_{10}$: 水理水深; g : 重力加速度; α : エネルギー係数

これらの諸値の計算には電子計算機を用いたが、初期状態における流況が常流か射流かによって計算方法が変わつて来る。

本実験の場合の初期条件は射流であるが万能の Half-Time Method (任意に付けた名称) なる方法で行った。これは計算を重ねて行く際に、時刻の変動を防止する為に考慮したものであり、計算より求まる時刻の $\frac{1}{2}$ を次の計算値として取り扱う方法で、流速、水位を比例配分に

て求め、距離を実測地図に合はせる様に考慮した、この計算方法は上記図-1に示してある。

次に時刻と共に変動する水面形の計算結果を下図の図-2に示すと。

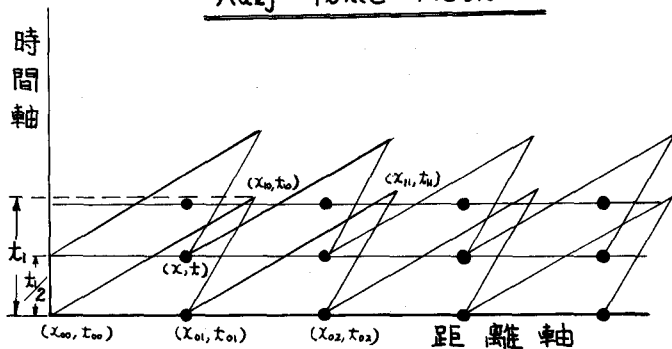


図-1

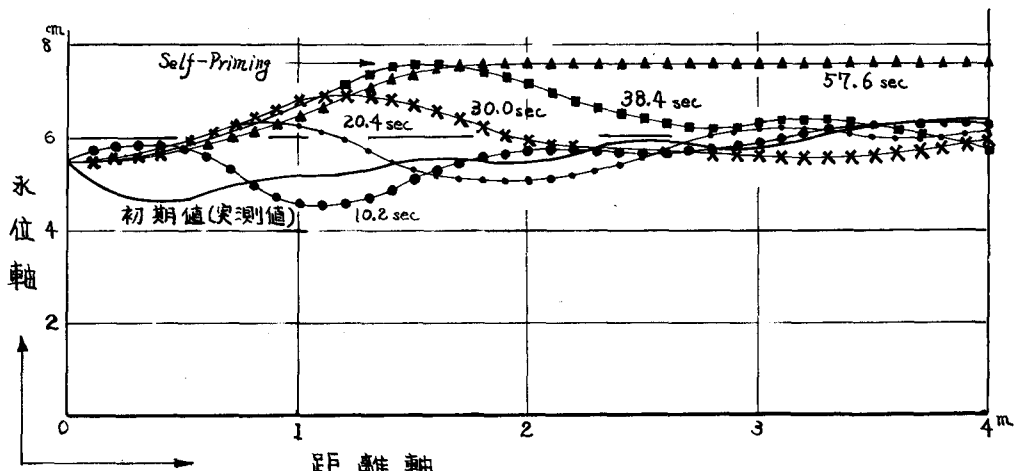


図-2

この実験の実測値は 58 秒で流入口より 1.9 m の地図で Self-Priming が発生しているのに対し、上記計算値（理論値）においては、38.4 秒で流入口より 1.5 m の地図で発生している、又計算の初期値は実測値を用い、この初期値と境界条件値と共に変動する水面形は図-2 の如し。

4. 結論

セルフ・アライミングが発生する、地図並びに時刻は、急速測定において初期状態が常流、射流の如んを問はず解析的に可能になり、実験の測定を考慮する必要がある。

5. 参考文献

1. Free outlets and Self-Priming action of culverts. (A.S.C.E 1957)
Wen-Hsiung Li and Calvin C. Patterson